

信州大学工学部 学生員 ○前田欣也  
信州大学工学部 正員 奥谷巖

### 1. まえがき

交通量を  $\varphi$ 、交通密度を  $\kappa$ 、速度を  $v$  とした時、 $\varphi = \kappa v$  なる関係が成り立つことは周知の事実である。しかし、信号により制御された街路区間においては、車は、加速、減速、停止という挙動を示すため、必ずしも  $\varphi = \kappa v$  なる関係が適切とは限らない。よって、より一般的に交通信号の影響を考慮したこれらの諸変量の関係を求めることが必要になってくる。本稿では、波動理論を利用して、以上の事等に関する考察を行なう。

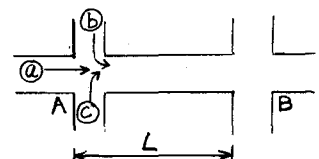
### 2. 街路区間ににおける波動理論

図1のような長さ  $L$  の街路区間を考える。A, B点は信号で制御され、

図 1

②からは  $\varphi_0$  なる定常的な交通量の流れがあり、それが A 点で C なる時間（信号周期に対応）ごとに、 $T$  時間（信号の赤時間に対応）ブロックされ、その T 時間の間に ①から A への交通が区間 AB に流入すると考える。この時、②からの定常的な交通量は  $\varphi_0'$  とする。また ③からの交通は、簡略化のため ④に含めるとする。次に、B 点においては、C 時間ごとに  $d$  時間ブロックされる状況を考える。ここで、記号を  $v_f$ : 自由走行速度  $k_f$ : 最大交通密度  $k_0$ ,  $v_0$ :  $\varphi_0$  に対応した密度と速度  $P$ : 交通密度  $\kappa$  を  $k_0$  で除した相対的密度 ( $P$  と  $\kappa$  のサフィックスは一致)  $\chi$ : A 点を原点とし区間の下流方向に測った距離  $\theta$ : A 点において ②方向からのブロックが終った時刻を原点とした時間

今、 $\theta = -T$ において、②からの交通がブロックされると、波動理論により速度  $\frac{d\chi}{d\theta} = (k_0 - k_f) / (\varphi_0 - 0)$  (1) なる衝撃波が上流側へ伝播するが、その軌跡は  $\chi_I(\theta) = v_f(1 - P_0 - P_0)(\theta + T) = -v_f P_0(\theta + T)$  (2) となる。また、下流方向には  $\chi_{II}(\theta) = (1 - P_0)v_f(\theta + T)$  (3) なる衝撃波が伝播する。この時以後  $\theta = 0$  までは、②からの交通は遮断される。次に、 $\theta = -T + \beta$  で ②方向からのブロックが終了し、車は左折して AB 区間に入り、加速する。この時、簡単のために、 $\chi = l$  の地点から密度の異なる発進波が順次下流方向に伝播すると考える。また、横断中の歩行者の影響により信号が青に変わても、すぐには加速発進できない場合には  $\theta = -T + \beta$  は、車が歩行者に妨げられずに AB 区間にに入って加速し始める時刻とする。この場合、密度  $\kappa$  なる発進波の軌跡を  $\chi$  とすると、 $\frac{d\chi}{d\theta} = \frac{d\kappa}{dk} = v_f(1 - 2P)$  (4) なる微分方程式が得られ、初期条件を代入して  $\chi = v_f(1 - 2P)\theta + l - v_f(1 - 2P)(\beta - T)$  (5) となる。 $P = 0$  なる発進波が最も速く下流側に伝播するが、その軌跡を  $\chi_{IV}$  とすると、式 (5) より  $\chi_{IV}(\theta) = v_f\theta + l - v_f(\beta - T)$  (6) また、②の上流方向へ伝播する発進波は信号の一周期前の衝撃波に追いつき、その後の衝撃波の軌跡は  $\frac{d\chi}{d\theta} = v_f(1 - P'_0 - P)$  (7) なる基本式で与えられる。ここで  $P$  は  $P = \kappa/k_f = 1/v_f \cdot [1 - (\chi - l)/v_f(\theta - B + T)]$  (8) である。②方向がブロックされた時刻を  $\theta = -\chi$  としてこの微分方程式を解けば  $\chi'_{IV}(\theta) = v_f(1 - 2P'_0) \cdot (\theta - \beta + T) + C_{IV}\sqrt{\theta - \beta + T} + l$  但し、 $C_{IV} = -2v_f\sqrt{P'_0(1 - P'_0)(\beta + T)}$  (9) となる。また、 $\chi'_{IV}(\theta) = 0$  のとき、 $\theta = \theta_s$  とする。そして、 $\theta = -\chi$  で ②からの信号が赤になり、交通がブロックされると、衝撃波が発生し、その軌跡  $\chi_{III}$  は、 $\frac{d\chi}{d\theta} = v_f(1 - P'_0 - 0)$  (10) より  $\chi_{III}(\theta) = (1 - P'_0)v_f(\theta + \chi) + l$  (11) となる。次に、 $\theta = 0$



以後は、④からの交通のブロックが終了し、車は順次加速しながら走行を始める。この場合も、密度  $P = 0$  なる発進波が下流へ、密度  $P = 1$  なる発進波が上流へ最も速く伝播する。その軌跡は  $\xi_{\text{II}}(\theta) = U_f \theta$  (12),  $\xi_{\text{IV}}(\theta) = -U_f \theta$  (13) である。 $\xi_{\text{I}}(\theta)$  と  $\xi_{\text{II}}(\theta)$  の交点を  $(\theta_u, \xi_u)$  とするとき、 $\theta_u = \{P_0 / (1-P_0)\} \cdot T$  (14) となり、 $(\theta_u, \xi_u)$  以後の衝撃波の軌跡は  $d\xi/d\theta = U_f(1-P_0-P)$  (15) より  $\xi'_I(\theta) = U_f(1-2P_0) \cdot \theta - 2U_f \sqrt{(1-P_0)P_0 T} \sqrt{\theta}$  (16) となり、 $\xi'_I(\theta) = 0$  となる時刻  $\theta_P$  は  $\theta_P = 4 \{ (1-P_0) / (1-2P_0) \}^2 \cdot \theta_u$  (17) として求められ、 $\xi'_I(\theta) = L$  となる時刻を  $\theta_T$  とする。今図2のようくB点における信号周期はA点と同じくCで、 $\theta = \theta_0$  でB点の信号が赤になり、交通がブロックされる状況を考える。(3)式より  $\xi_{\text{II}}(\theta) = L$  なる時刻を  $\theta_g$  とすれば、 $-T < \theta_0 < \theta_g$  とする。

この時、発生する衝撃波  $\xi_{\text{II}}(\theta)$  と  $\xi_{\text{II}}(\theta)$  の交点を  $(\theta_2, \xi_2)$  すると、 $\theta_2 = \frac{1}{U_f} - (1-P_0)T + P_0 \theta_0$  (18)

$\xi_2 = (1-P_0)U_f \{ L/\theta_2 + P_0(T+\theta_0) \}$  (19)。 $(\theta_2, \xi_2)$  以後、 $\xi_{\text{IV}}(\theta)$  と交わるまでは、上流からの交通量が0のため衝撃波  $\xi_{\text{II}}(\theta) = \xi_2$  (20) となる。 $\xi_{\text{II}}(\theta)$  と  $\xi_{\text{IV}}(\theta)$  の交点を  $(\theta_3, \xi_3)$  すると、 $\theta_3 = -\frac{1}{U_f} + \beta - T + (1-P_0) \cdot \{ \frac{1}{U_f} + P_0(T+\theta_0) \}$  (21)、 $\xi_3 = \xi_2$  (22) である。 $(\theta_3, \xi_3)$  以後は、 $d\xi/d\theta = U_f(1-P'_P - P_0)$  (23) なる微分方程式を解いて  $\xi_{\text{II}}(\theta) = -U_f(\theta - \beta + T) + C_{34} \sqrt{\theta - \beta + T} + l$  但し  $C_{34} = 2U_f \sqrt{\theta_3 + \beta - T}$  (24) である。また、 $\xi_{\text{II}}(\theta)$  と  $\xi_{\text{IV}}(\theta)$  の交点を  $(\theta_4, \xi_4)$  すると、その点以後は  $d\xi/d\theta = U_f(1-P'_P - P_0)$  (25) より  $\xi_{\text{II}}(\theta) = -U_f P'_P (\theta - \theta_4) + \xi_4$  (26) となり  $\xi_{\text{II}}(\theta)$  と  $\xi_{\text{II}}(\theta)$  の交点を  $(\theta_5, \xi_5)$  とする。 $(\theta_5, \xi_5)$  以後は  $\xi_{\text{II}}(\theta)$  と同じく上流からの交通量0のため  $\xi_{\text{II}}(\theta) = \xi_5$  (27) となる。ここで、 $\theta = \theta_1$  の時刻においてB点の信号が青になり、車が加速を始めるとする。この時、密度の異なる発進波が順次上流側へ伝播するが、最も速く伝播する発進波の密度は  $P = 1$  であり、その軌跡は  $\xi_{\text{II}}(\theta) = -U_f(\theta - \theta_1) + L$  (28) である。今、 $\xi_{\text{II}}(\theta)$  が  $\xi_{\text{II}}(\theta)$  と交わるような場合を考察する。ここで、交わる点を  $(\theta_6, \xi_6)$  とする。また、この発進波領域内の任意点のPは  $P' = k/b_f = \frac{1}{2} \cdot \{ 1 - (\xi - L)/U_f(\theta - \theta_1) \}$  (29) である。よって  $(\theta_6, \xi_6)$  以後は  $d\xi/d\theta = U_f(1 - P' - P')$  (30) なる基本式より  $\xi_{\text{II}}(\theta) = U_f(\theta - \theta_1) + C_{67} \sqrt{\theta - \theta_1} + L$  但し  $C_{67} = \{ \xi_6 - U_f(\theta_6 - \theta_1) - L \} / \sqrt{\theta_6 - \theta_1}$  (31) である。 $\xi_{\text{II}}(\theta)$  と  $\xi_{\text{II}}(\theta)$  の交点を  $(\theta_7, \xi_7)$  とし、それ以後は  $d\xi/d\theta = U_f(1 - P' - P')$  (32) なる微分方程式を解いて  $\xi_{\text{II}}(\theta) = U_f \theta_1 + C_{78} \sqrt{\theta(\theta - \theta_1)}$  但し  $C_{78} = (\xi_7 - L \theta_3 / \theta_1) / \sqrt{\theta_3(\theta_3 - \theta_1)}$  (33) となる。また、 $\xi_{\text{II}}(\theta) = L$  となる時刻を  $\theta = \theta_8$  とする。この例の場合は、 $\theta_8 < \theta_T$  であると考える。これで信号一周期におけるAB区間のある交通状態について調べたわけである。次に、この場合の平均交通密度  $\bar{P}$  と平均空間速度  $\bar{V}$  及び交通量  $\bar{Q}$  との関係、並びに区間の平均所要時間を求めるわけであるが、それは当日発表する予定である。

参考文献： 奥谷「交通情報に関する一考察」 S.53 土木学会中部支部研究発表会概要集

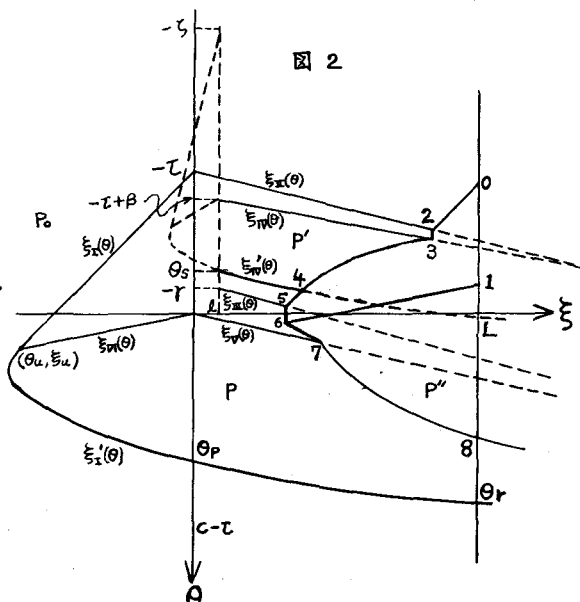


図2  
注：数字は  $n=(\theta_n, \xi_n)$  ( $n=1, 2, \dots, 8$ ) とし。  
 $\xi_{ij}$  は  $(i, j)$  間の衝撃波あるいは発進波となる